Инженерная экология и дизайн

Математическая модель динамики разлива нефтепродукта

¹Александр Васильевич Иванов ² Константин Николаевич Макаров

¹Сочинский государственный университет, Россия

354000, г. Сочи, ул. Советская, 26 а

Аспирант

E-mail: shurik-2003@mail.ru

² Сочинский государственный университет, Россия

354000, г. Сочи, ул. Советская, 26 а

Доктор технических наук, профессор

E-mail: ktk99@mail.ru

Аннотация. В статье рассматривается математическая модель динамики нефтяного загрязнения в прибрежной зоне моря. Модель описывает основные процессы первичного растекания и последующего дрейфа нефтяного пятна. Калибровка модели выполнена по данным натурного эксперимента.

УДК 502.3

Ключевые слова: разлив нефтепродукта, прибрежная зона моря, поле течений, натурный эксперимент, калибровка математической модели.

Прогноз динамики разливов нефтепродуктов является актуальной задачей для проектирования портовых гидротехнических сооружений, оценки экологического состояния прибрежных вод, оценки риска аварий нефтеразведочных и нефтедобывающих сооружений.

Автором разработаны математическая модель и компьютерная программа для расчета дрейфа нефтяного разлива в прибрежной зоне моря.

Задача решается в предположении, что аварийный разлив нефтепродукта объемом W произошел в точке с координатами X_0 , Y_0 . Расчет выполняется на прямоугольной сетке, в узлах которой заданы глубины D[i,j]. Поле течений считается заданным, то есть в узлах сетки известны составляющие скорости суммарного течения U[i,j], V[i,j]. Тогда исходными данными для решения задачи являются следующие:

- 1. Сетка рельефа D[i,j].
- 2. Поле течений U[i,j], V[i,j] в узлах сетки.
- 3. Средняя высота волн при расчетной гидрометеоситуации, h_e , м.
- 4. Продолжительность шторма D_T , часы.
- 5. Объем разлива нефтепродукта W, M^3 .
- 6. Координаты точки разлива нефтепродукта X_o , Y_o , м.

При моделировании процесса распространения разлива нефтепродукта используются следующие физические представления:

- 1. После разлива нефтепродукта на поверхности моря он испытывает растекание по поверхности и снос суммарным течением. Растекание происходит при штилевых условиях (или близких к ним) до пленки толщиной $T_{n,min1} = 100~m\kappa M = 0.0001~m$. При штормовых условиях нефть растекается плохо и собирается в сгустки на небольшой площади. При этом минимальная толщина пленки $T_{n,min2} = 1~cM = 0.01~m$.
- 2. Согласно данным наблюдений, приведенным в [1], 1 м³ попавшей на поверхность моря нефти при штилевых условиях (принимается, что высота волн $h_6 <= 1.0$ м) растекается за время $D_t = 10$ мин на площади $S_{01} = 1800$ м². Минимальная толщина слоя нефти порядка $T_{n,minl} = 100$ мкм = 0.0001 м. Тогда радиус пятна разлива составит $R_1 = (S_{01}/\pi)^{0.5} = 24$ м, исходная толщина нефтяной пленки $T_{n,nuc1} = W/S_{01} = 1/1800 = 0.0006$ м, скорость растекания разлива $V_{pac1} = R_1/D_t = 0.04$ м/с. Предельная площадь разлива составит: $S_{nped} = W/T_{n,nminl} = 10000$ м². Таким образом, нефть будет растекаться до тех пор, пока площадь пятна

не составит S_{nped} . После этого пятно будет только дрейфовать в направлении течения, $V_{pac2} = 0.0$.

3. При штормовых условиях ($h_6 <= 1.0 \text{ м}$) нефть растекается практически мгновенно на площади $S_{nped} = W / T_{n,nmin2}$, и в дальнейшем это пятно дрейфует по направлению течения.

Алгоритм расчета следующий (рис. 1):

- 1. По заданным координатам центра разлива X_o , Y_o , объему разлива W и заданном времени шторма D_T , определяются:
- шаг расчета повремени $D_{st} = D_T/9$ (то есть время шторма делится на 9 временных интервалов);
 - при $h_{\rm e} <= 1.0$ м, $S1 = W/T_{n,nuc1} = W/0.0006$, $R = (S_{\rm I}/\pi)^{0.5}$,

 $S_{npe\partial} = W / T_{nnmin1} = W / 0.0001$, $V_{pac} = 0.04 \text{ m/c}$;

- при $h_{e} > 1.0$ м, $S1 = W / T_{namin2} = W / 0.01$, $R = (S_{l}/\pi)^{0.5}$, $S_{npe\partial} = S_{l}$,

 $V_{pac} = 0.0 \text{ m/c};$

- рассчитываются исходные координаты 8 точек, аппроксимирующих исходное пятно разлива на шаге расчета 1:

 $X_{1,1} = X_0, Y_{1,1} = Y_0 + R;$

 $X_{1,2} = X_0 + R \times 0.707$, $Y_{1,2} = Y_0 + R \times 0.707$;

 $X_{1,3} = X_o + R, Y_{1,3} = Y_o;$

 $X_{1,4} = X_o + R \times 0.707$, $Y_{1,4} = Y_o - R \times 0.707$;

 $X_{1,5} = X_o$, $Y_{1,5} = Y_o - R$; $X_{1,6} = X_o - R \times 0.707$, $Y_{1,6} = Y_o - R \times 0.707$;

 $X_{1,7} = X_0 - R$, $Y_{1,7} = Y_o$; $X_{1,8} = X_0 - R \times 0.707$, $Y_{1,8} = Y_o + R \times 0.707$,

где $sin(45^0) = cos(45^0) = 0.707$.

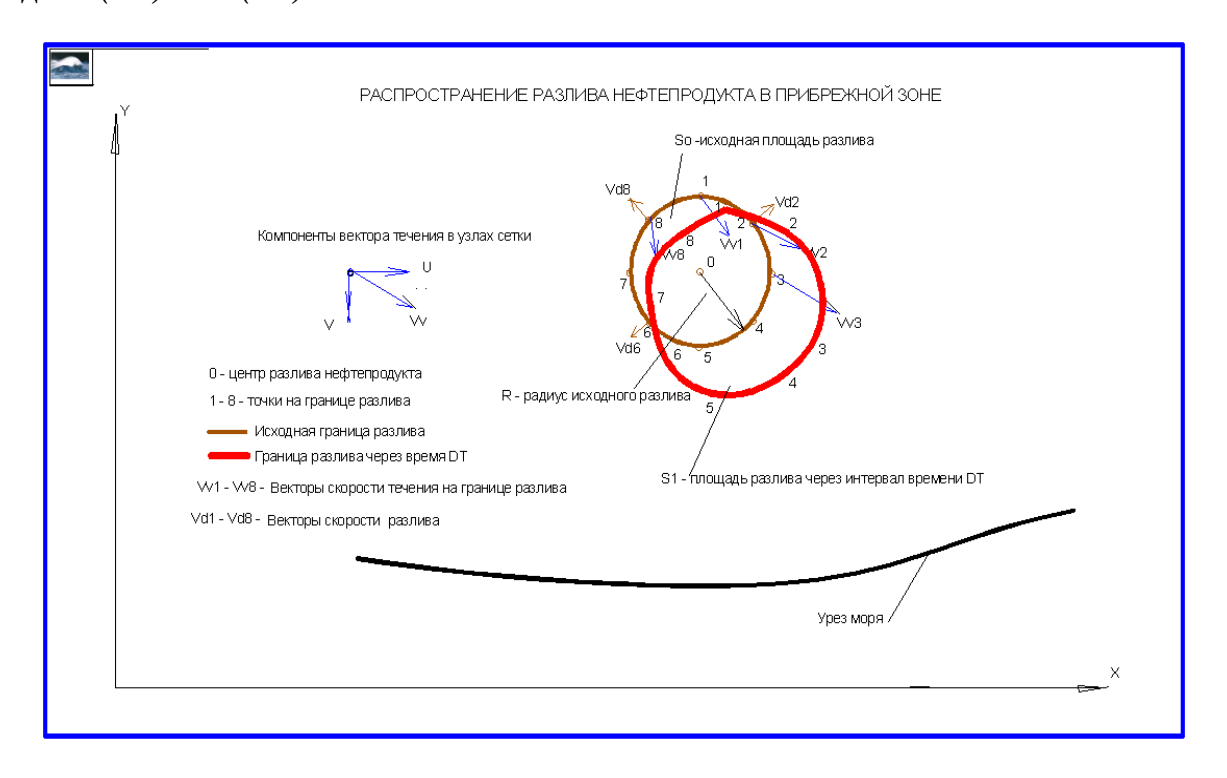


Рис. 1. Распространение разлива нефтепродукта в прибрежной зоне

2. По методике [2, 3] рассчитываются компоненты скорости течения в точках $1-8\,$ на шаге расчета i:

 $U_{i,1} = U_{mi,1}, V_{i,1} = V_{mi,1} + V_{pac};$

 $U_{i,2} = U_{mi,2} + V_{pac} \times 0.707, V_{i,2} = V_{mi,2} + V_{pac} \times 0.707;$

 $U_{i,3} = U_{mi,3} + V_{pac}, V_{i,3} = V_{mi,3};$

 $U_{i,4} = U_{mi,4} + V_{pac} \times 0.707$, $V_{i,4} = V_{mi,4} - V_{pac} \times 0.707$;

 $U_{i,5} = U_{mi,5}$, $V_{i,5} = V_{mi,5}$ - V_{pac} ;

 $U_{i,6} = U_{mi,6} - V_{pac} \times 0.707, V_{i,6} = V_{mi,6} - V_{pac} \times 0.707;$

 $U_{i,7} = U_{mi,7} - Vpac, Vi,7 = Vmi,7;$

 $U_{i,8} = U_{mi,8} - V_{pac} \times 0.707, V_{i,8} = V_{mi,8} + V_{pac} \times 0.707,$

где $U_{mi,1}....U_{mi,8}$, $V_{mi,1}$... $V_{mi,8}$ – компоненты скорости сносящего течения в точках аппроксимации пятна разлива.

3. Рассчитываются новые координаты точек аппроксимации пятна разлива на шаге расчета i+1 для точек j=1...8:

$$X_{i+1,j} = X_{i,j} + K_{KAX} D_{st} \times U_{i,j}; \ Y_{i+1,j} = Y_{i,j} + K_{KAY} D_{st} \times V_{i,j}.$$

где $K_{\kappa n x}$, $K_{\kappa n y}$ — калибровочные коэффициенты, определяемые по натурным или экспериментальным данным. При отсутствии таких данных значения указанных коэффициентов принимаются равными 1.

4. Рассчитывается новая площадь пятна разлива

$$S_{i+1} = 0.5 \times \sum_{1}^{n} Y_i (X_{i-1} - X_{i+1})$$
, где $n = 1...8$ – количество точек аппроксимации

пятна разлива. Если $S_{i+1} >= S_{npe\partial}$, то принимается $V_{pac} = O$.

5. Если шаг по времени i <= 9, то производится переход к пункту 2.

Калибровка приведенной математической модели динамики разлива нефтепродукта выполнялась по данным аэрофотосъемки, предоставленным Сочинским Центром по гидрометеорологии и мониторингу окружающей среды Черного и Азовского морей (СЦГМС ЧАМ).

В июне — августе 2004 г. СЦГМС ЧАМ совместно с ААНИИ проводил аэрофотографический мониторинг загрязнений прибрежной зоны моря в пределах всего Краснодарского края.

В рамках этой работы был выполнен натурный эксперимент по изучению динамики разлива нефтепродукта в прибрежной акватории Черного моря, расположенной к западу от бухты Голубой (вблизи г. Геленджика) – рис. 2, 3.

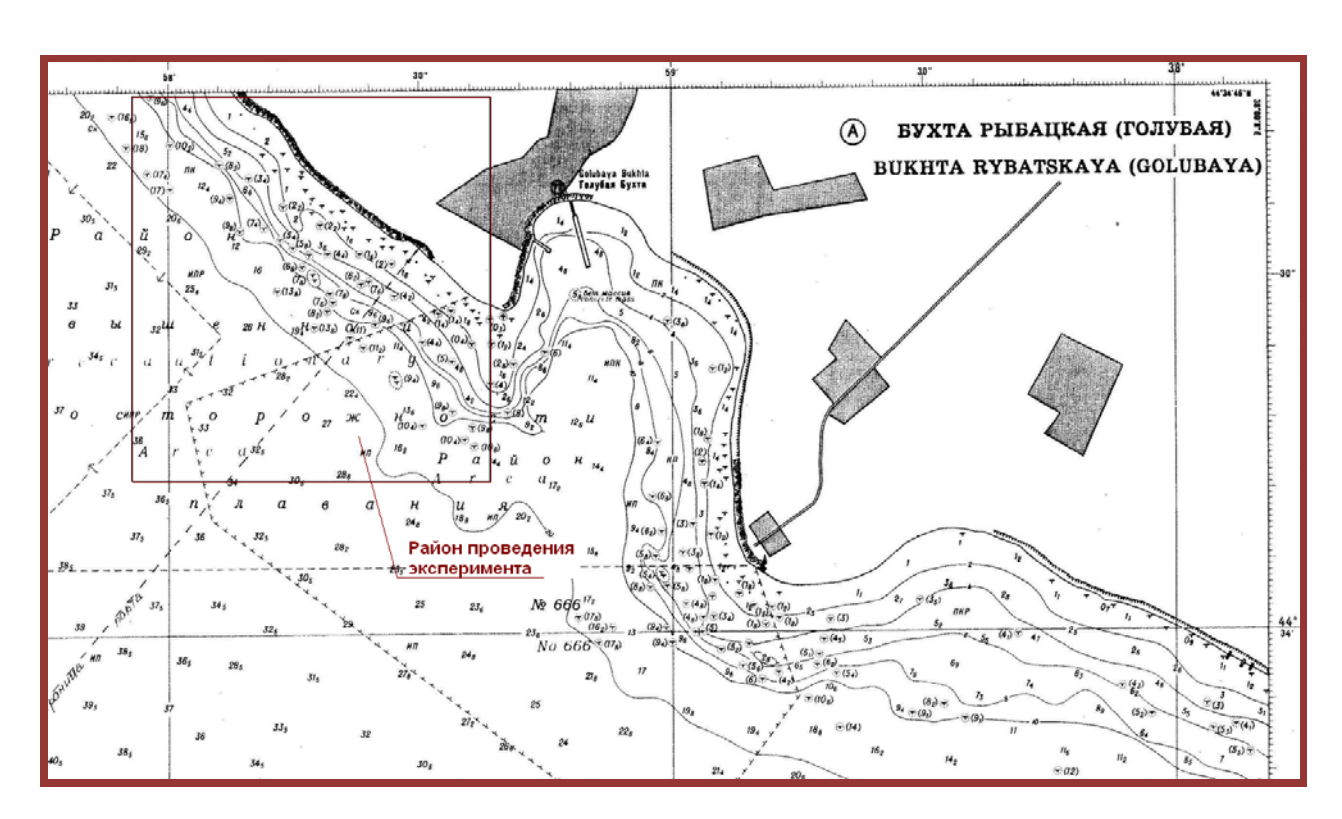


Рис. 2. Гидрографическая карта района исследований

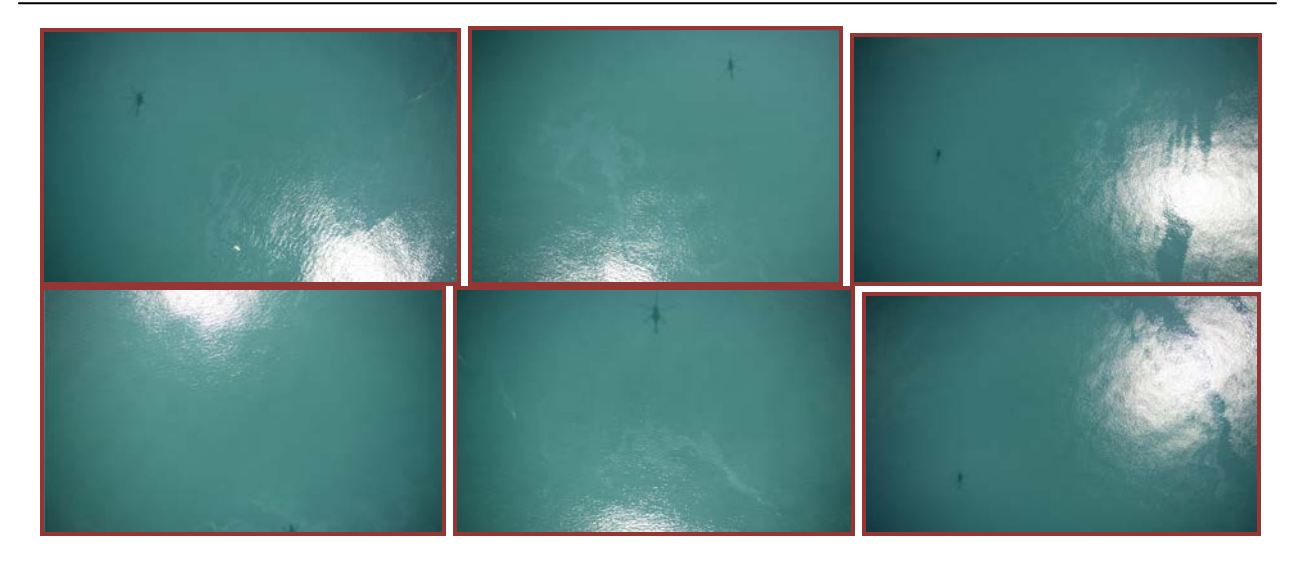


Рис. 3. Общий вид экспериментального участка

Эксперимент заключался в следующем. С плавсредства был разлит в акваторию нефтепродукт (масло) в объеме 100 л - рис. 4. Далее с интервалом 30 мин. выполнялось фотографирование с вертолета динамики этого разлива - рис. 5.



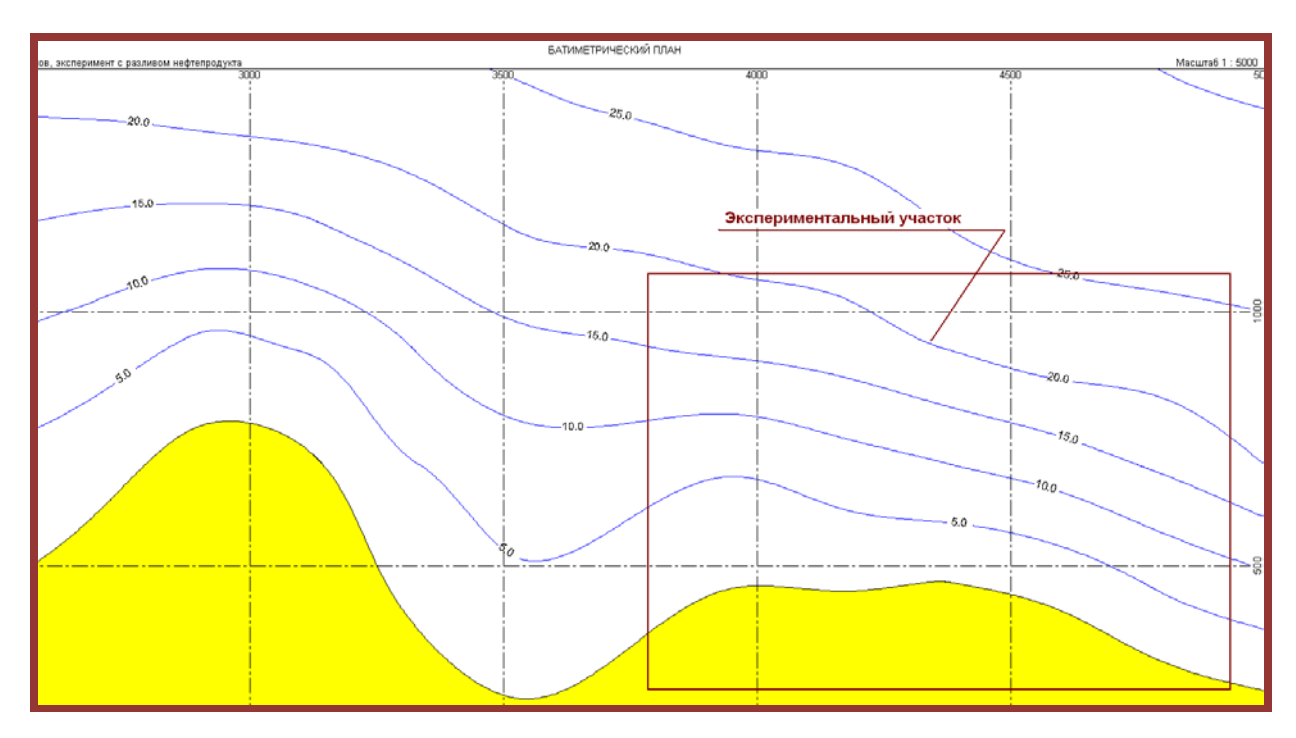
Рис. 4. Разлив нефтепродукта с плавсредства – начало эксперимента



Puc. 5. Динамика разлива нефтепродукта в течение 3 часов по данным аэрофотографирования

На Морской гидрометеостанции г. Геленджика была получена информация о скорости и направлении ветра за 6 часов до эксперимента и в течение его выполнения. В среднем направление ветра было ЮЮВ, скорость – порядка 4 м/с.

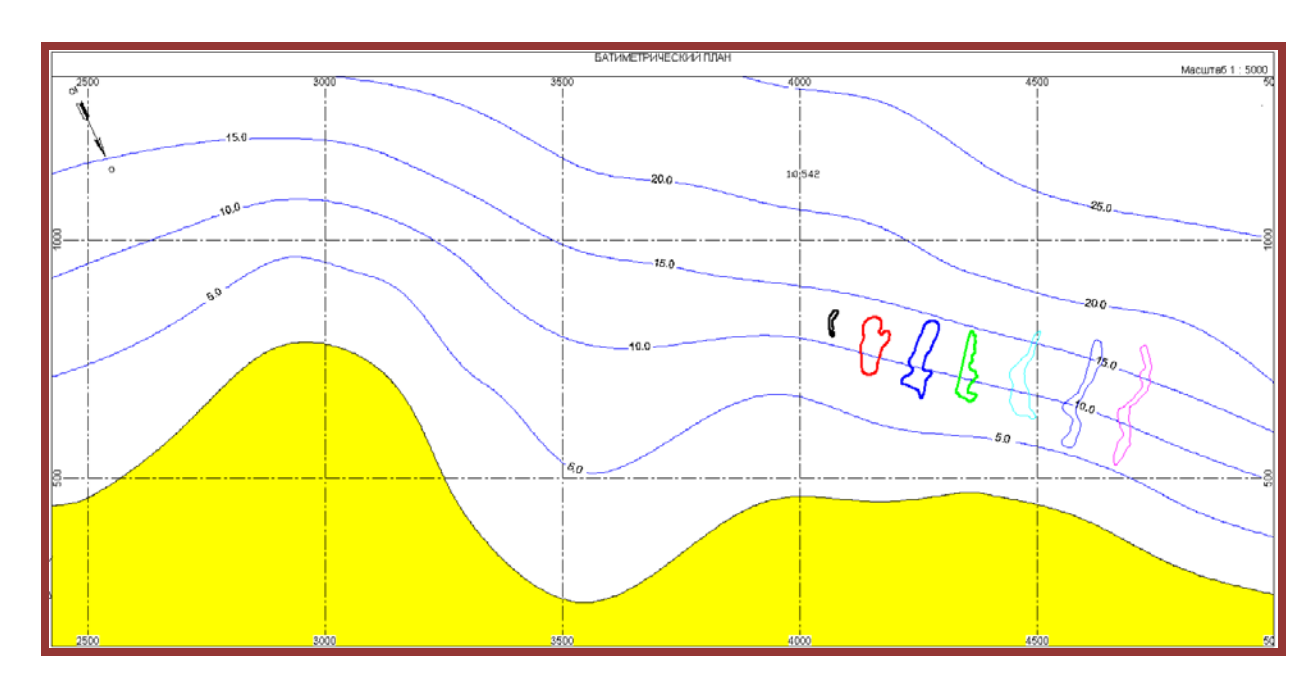
Автором была разработана цифровая модель прибрежной зоны моря в районе экспериментального участка — рис. 6. На отображение цифровой модели были нанесены данные аэрофотографирования динамики пятна нефтепродукта — рис. 7.



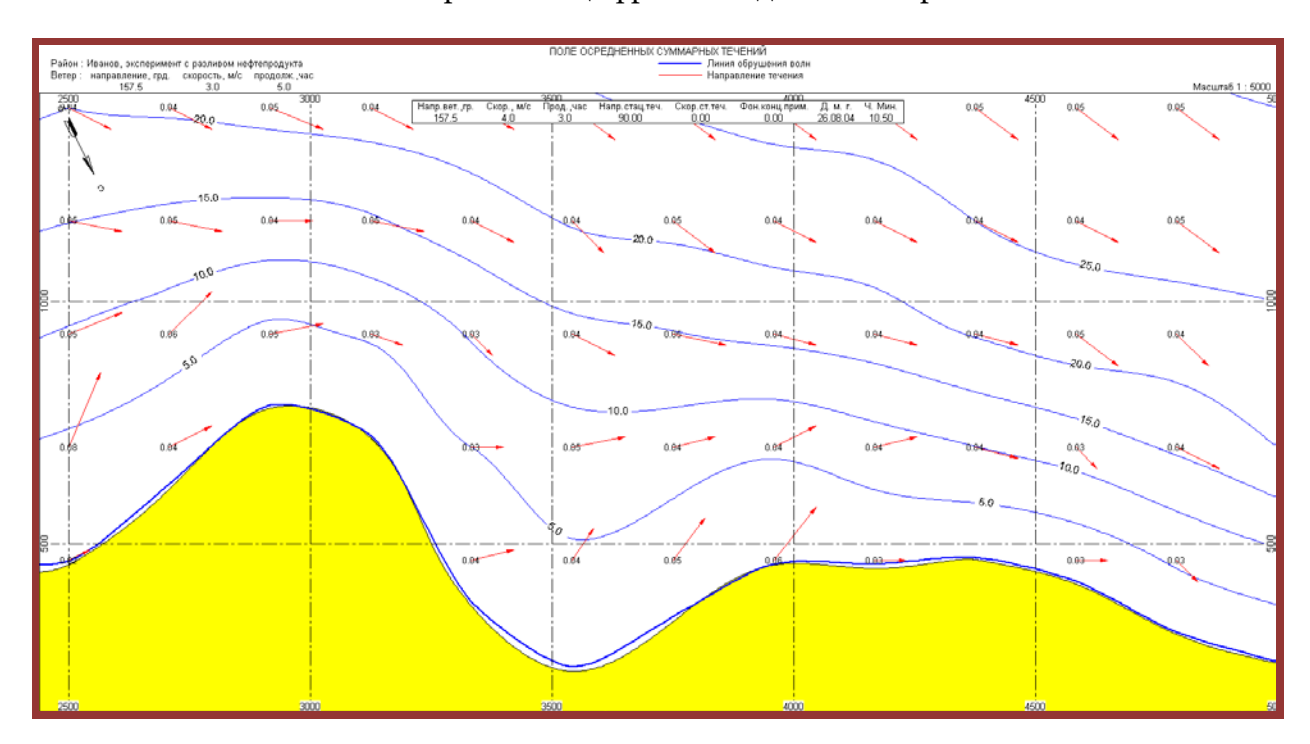
Puc. 6. Отображение цифровой модели прибрежной зоны с участком экспериментальных работ

По данным об осредненной гидрометеорологической ситуации было рассчитано поле течений в прибрежной зоне [2, 3] на момент проведения эксперимента – рис. 8.

Далее по приведенной математической модели выполнялись расчеты динамики пятна загрязнения нефтепродуктом и сопоставлялись с данными эксперимента. В процессе расчетов для калибровки модели варьировались величины калибровочных коэффициентов $K_{K\!R\!X}$, $K_{K\!R\!Y}$.

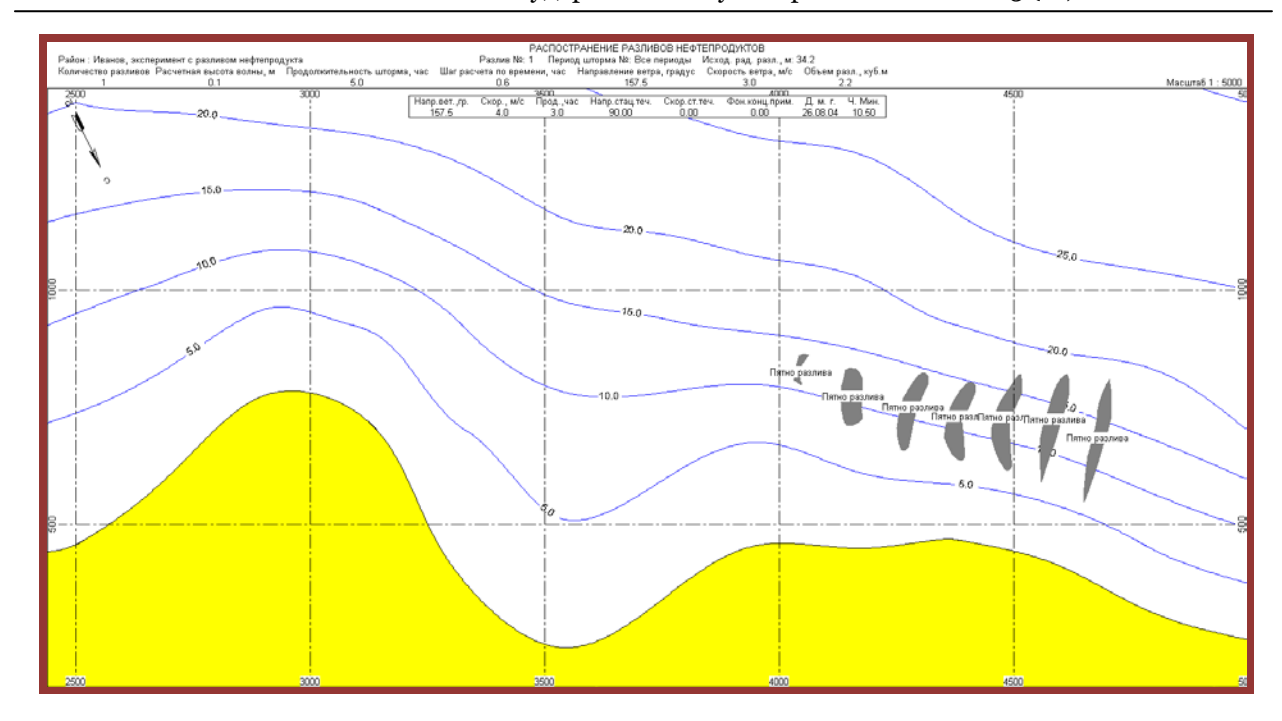


Puc. 7. Динамика разлива нефтепродукта в течение 3 часов по экспериментальным данным на отображении цифровой модели акватории

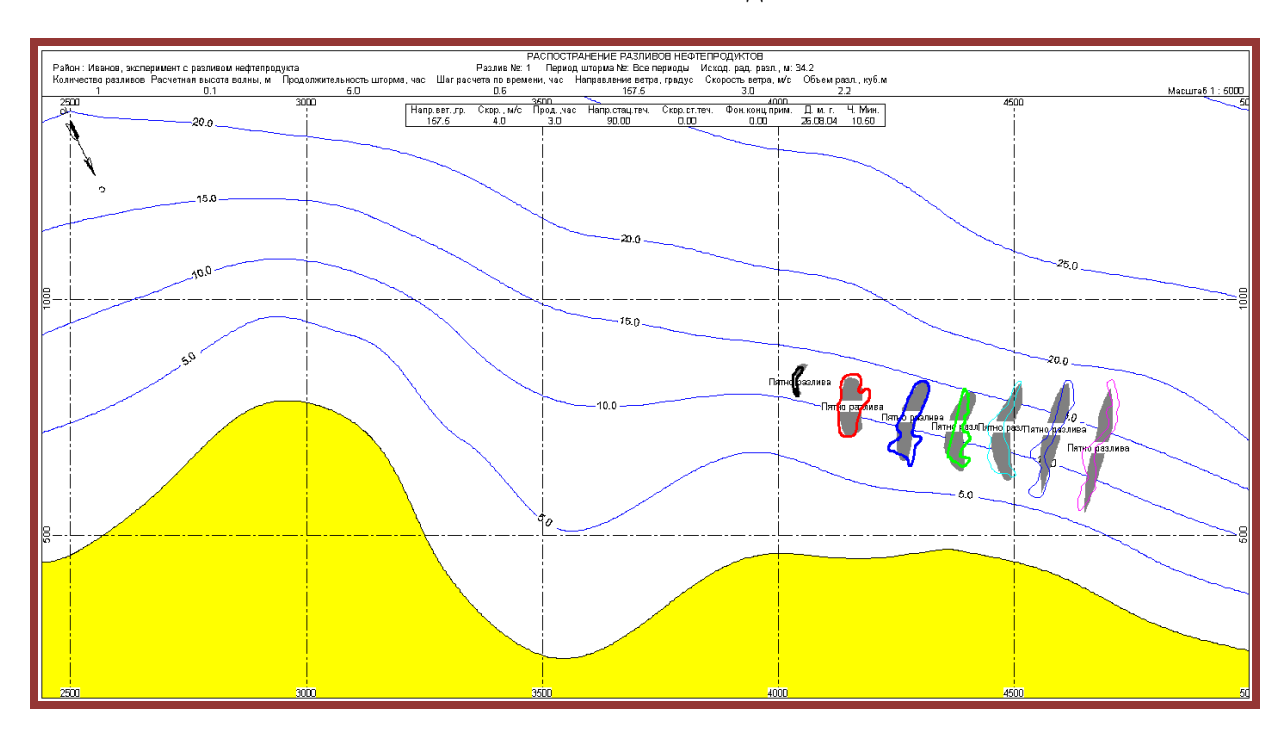


Puc.~8.~ Расчетное поле течений в прибрежной зоне моря при проведении эксперимента – ветер от ЮЮВ со скоростью 4 м/с

Результаты расчета динамики пятна нефтепродукта после калибровки модели приведены на рис. 9. На рис. 10 дано сопоставление результатов расчетов после калибровки модели с данными эксперимента.



Puc. 9. Результаты расчета динамики разлива нефтепродукта после калибровки математической модели



Puc. 10. Сопоставление результатов расчетов динамики нефтяного загрязнения с данными эксперимента

Из рис. 10 следует, что после калибровки модели результаты расчетов удовлетворительно соответствуют результатам эксперимента.

Таким образом, разработанная математическая модель динамики нефтяного пятна при аварийных разливах нефтепродуктов может быть использована для практических расчетов.

Примечания:

- 1. Смирнов Г.Н. Океанология: Учеб. для вузов. М.: Высш. шк., 1987.
- 2. Иванов А.В. Расчет течений прибрежной зоны моря // Строительство в прибрежных курортных регионах. Материалы 6-й международной научно-практической конференции, г. Сочи. 17—21 мая 2010 г. С. 139-141.
 - 3. Руководство по морским гидрологическим прогнозам. СПб.: Гидрометеоиздат, 1994.

Mathematical Model for Oil Products Pouring Dynamic

¹Alexander V. Ivanov ²Konstantin N. Makarov

¹Sochi State University, Russia 26a, Sovetskaya st., Sochi, 354000 PhD student E-mail: shurik-2003@mail.ru ²Sochi State University, Russia 26a, Sovetskaya st., Sochi, 354000 Dr. (Technical), Professor E-mail: ktk99@mail.ru

Abstract. The article deals with mathematical model of sea coastline pollution by oil products. This model features the basic process of oil spillage and consecutive oil spill drift. The model calibration is performed on the basic of real experiment.

UDC 502.3

Keywords: oil spillage, sea coastline, flow field, real experiment, mathematical model calibration.